

بررسی فراساختار غشاء پایه لوله‌های سمی نفروس بافت بیضه در بیماران آزواسپرمی غیر انسدادی

مجتبی کریمی پور^{*} Ph.D., احمد حسینی[†] Ph.D., مجتبی رضازاده[★] Ph.D., محمد حسن حیدری^{*} Ph.D.

سید جلیل حسینی[★] M.D., Ph.D., یوسف صادقی^{*} M.D.

[‡] دانشگاه علوم پزشکی شهید بهشتی، گروه علوم تشریح

[★] دانشگاه تربیت مدرس، گروه علوم تشریح

[☆] پژوهشکده رویان، گروه آنдрولوژی

تهران، صندوق پستی ۱۹۳۹۵-۴۶۴۴، پژوهشکده رویان، گروه پژوهشی، بالینی جنین‌شناسی

چکیده

* هدف: بررسی فراساختار غشاء پایه اپی تلیوم ژرمنیال لوله‌های سمی نفروس بافت بیضه در بیماران آزواسpermی غیر انسدادی.

* مواد و روشها: تعداد ۱۰ نمونه از بیوبسی بافت بیضه از بیماران آزواسpermی غیر انسدادی مراجعه کننده به پژوهشکده رویان به عنوان گروه بیماران و تعداد ۵ نمونه طبیعی از بیماران مبتلا به کانسر پروستات مراجعه کننده به بخشهای اورولوژی بیمارستانهای وابسته به دانشگاه علوم پزشکی شهید بهشتی تهیه شد. پس از انجام مراحل پردازش بافتی بلوكهایی از زرین برای مطالعه با میکروسکوپ الکترونی انتقالی تهیه و فراساختار غشاء پایه لوله‌های سمی نفروس مورد بررسی و مقایسه قرار گرفت.

* یافته‌ها: به طور کلی مهمترین یافته، ضخیم شدگی غشاء پایه بود. علاوه بر آن الگوهای دیگری از تغییرات پاتولوژیکی در غشاء پایه مشهود بود، از جمله چین خودگی و برخستگی غشاء پایه به طرف اپی تلیوم ژرمنیال، چند لایه شدن و شکاف برداشتن غشاء پایه (Demination).

* نتیجه‌گیری: نتایج نشان می‌دهد که تغییرات پاتولوژیکی در غشاء پایه لوله‌های سمی نفروس بافت بیضه همه بیماران مورد مطالعه وجود دارد. از آنجایی که غشاء پایه محصول سلولهای سرتولی و میوتید است، بلوغ این سلولها جهت سنتز یک غشاء پایه نرمال و طبیعی ضروری است، بنابراین شاید بتوان تغییرات پاتولوژیکی مشاهده شده، در این تحقیق را به وضعیت غیر طبیعی سلولهای مذکور نسبت داد.

گل واژگان: غشاء پایه، لوله‌های سمی نفروس، فراساختاری، میکروسکوپ الکترونی، آزواسpermی غیر انسدادی

مقدمه

لامیناپروپریا یافت احاطه کننده^۱ در بافت بیضه نرمال انسانی از یک غشاء پایه تشکیل شده که به وسیله سه تاشن لایه از سلولهای میوئیدک در یک چهار چوب از الیاف کلاژنی و مقدار اندکی الیاف الاستینی، فرار گرفته اند احاطه شده است (۱). در رت تعداد سلولهای میوئید در لامینا پروپریا کمتر از انسان بوده که شامل یک یا دو لایه است (۲). غشاء پایه لوله‌های سمتی نفروس بیضه یک ساختمان حساس و مهم ای تلیوم ژرمینال بوده که در تغیرات و ضایعات سلولهای اپیتیال ژرمینال و یافت احاطه کننده آن تحت تاثیر قرار می‌گیرد. این غشاء پایه با ضخامت nm ۸۰^۲ بالا قابل در زیر ای تلیوم ژرمینال قرار گرفته است (۳).

عملکرد، ظاهر و ترکیب دقیق غشاء پایه در بافت‌های مختلف مقاومت است اما شباهتی در اکثر آنها دیده می‌شود. مطالعات ایمونوھیستوشیمی در تعدادی از بافت‌ها شان داده که به طور کلی چهار پروتئین در غشاء پایه دیده می‌شود که عبارتند از: لامینین، کلاژن نوع VII، پروتیگلیکان هپاران سولفات و انتکتین / نیدوئن (۴). علاوه بر آن مطالعات ایمونوھیستوشیمی در *in vitro* نشان داده که همکاری بین سلولهای سرتولی و پری توبولار میوئید در سنتز اجزاء این ماده ماتریکس خارج سلولی (غشاء پایه) مهم است، به طوری که سلولهای سرتولی، کلاژن نوع VII، پریونکتین و کندروتین سولفات را سنتز می‌کنند، در حالی که سلولهای میوئید سنتز کلاژن نوع VII، فیرونکتین و کندروتین سولفات را به عنده دارند (۵).

۱۹۸

اینراکنشی‌ای سلولی بین سلولهای سرتولی، میوئید و لادیگ برابر اسپرماتوزنیس نرمال ضروری است، و هر کدام از این اینراکنشها بایستی از طریق ماتریکس خارج سلولی موجود در لامیناپروپریا صورت گیرد. بنابراین مطالعه و بررسی فراساختار آن مهم به نظر می‌رسد (۶). ساختمان غشاء پایه در تعدادی از حالت‌های پاتولوژیکی مثل دیابتیا، گلومرولوفریت و بیماری‌های تاول پوستی تغییر می‌کند. در بیضه، تغییرات غشاء پایه در حالت‌هایی که منجر به کاهش اسپرماتوزنیس می‌شود مشاهده شده است، این حالت‌ها شامل، تابش اشعه X، کریپتوکلیدیسم، سوم محیطی و درمان طولانی مدت با استروئن می‌باشد. همچنین بعد از واژکتومی تغییرات غشاء پایه در انسان، میمون و خرگوش مشاهده شده است ولی در رت گزارشی در این خصوص وجود ندارد (۷، ۶).

مشاهدات مشابهی نیز در مردان نابارور با ایتلولوژی ناشناخته گزارش شده است. این مشاهدات شامل ضخیم شدن و تیغه تیغه شدن غشاء پایه با بر جستگی‌های به داخل ای تلیوم ژرمینال است (۸).

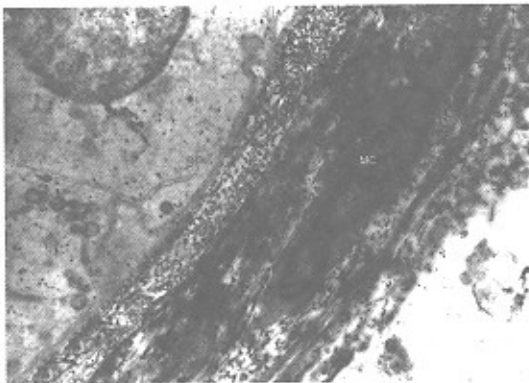
مطالعات فراساختاری در بیضه افراد کریپتوکلیدیسم، تغییراتی را در سلولهای جرم، سرتولی و لامیناپروپریا اساساً به صورت رسوب کلاژن در بین سلولهای میوئید و ضخیم شدن غشاء پایه همراه با بر جستگی‌های به طرف ای تلیوم ژرمینال است (۹، ۱۰).

در یک مطالعه دقیق در سال ۱۹۸۲ به وسیله Hedinger و

مواد و روشها

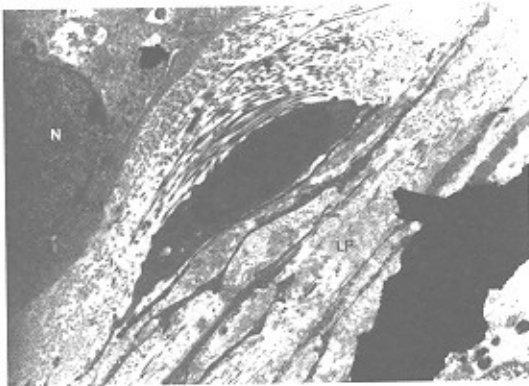
نمونه‌های یافته بیضه مورد بررسی در این مطالعه از تعداد ۱۰ نفر مردان نابارور با تشخیص آزواسپرمی غیر انسدادی که در طی سالهای ۱۳۷۸ و ۱۳۷۹ به کلینیک ناباروری پژوهشکده رویان وابسته به جهاد دانشگاهی علوم پزشکی ایران مراجعه کرده بودند، تهیه شد. علت مراجعه این بیماران انجام TESE و ICSI برای درمان ناباروری بود. قبل

- 1. Boundary tissue
- 2. Lamellation
- 3. Sertoli Cell only syndrome
- 4. Maturation arrest
- 5. Testicular Sperm Extraction
- 6. Intracytoplasmic Sperm Injection
- 7. Transitional Electron Microscopy

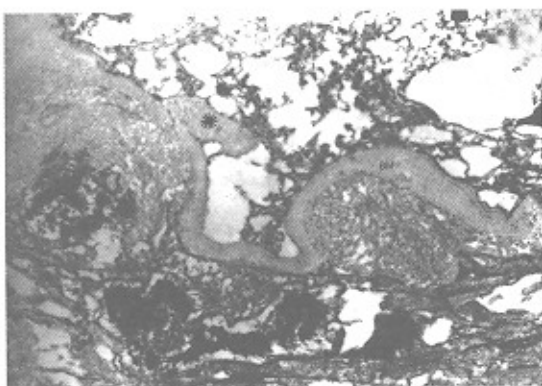


شکل ۱: تصویر میکروگراف الکترونی از لامینا پروپریا لوله سمعی نفروس در گروه کنترل با سالم قسمتی از سلولهای سپرمانوگوش و سرتولی در تصویر مشخص است. سپرمانوگوش سرتولی (SE)، غشاء پایه (BM)، لیاف کلارن (CO)، سلول میوئید (MC). بزرگنمایی: ۲۰۰۰^۱.

۱. ضخیم شدگی هموژن و ساده غشاء پایه (شکل ۲).
۲. ضخیم شدگی ناهمگون و نامنظم به همراه چین خورده‌گی غشاء پایه (شکل ۳).



شکل ۲: تصویر میکروگراف الکترونی از لامینا پروپریا (LP) لوله سمعی نفروس در افراد بیمار. ضخیم شدگی همکون در غشاء پایه (BM) مشخص است. ضخامت کلی لامینا پروپریا بیز افزایش باقی نیست. سلول میوئید و قسمت سپرمانوگوشی (N) نیز مشخص است. بزرگنمایی: ۲۰۰۰^۱.



شکل ۳: تصویر میکروگراف الکترونی از بخش غشاء پایه (BM). گروه بیماران. ضخیم شدگی نامنظم و ناهمگون قسمتهایی از غشاء پایه به همراه چین خورده‌گی مشاهده می‌شود. بزرگنمایی: ۲۰۰۰^۱.

۳. ضخیم شدگی همراه با برجهسته شدن به شکل گره (knob) به طرف اپی تیلوم رُزمیال (شکل ۴).

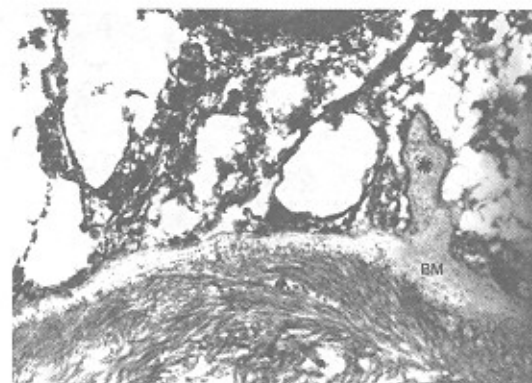
از انجام درمان، آزمایشات هورمونی و آنالیز مایع منی برای آنها انجام می‌شد. دامنه سنی افراد مورد مطالعه ۲۶-۴۱ سال بود. برای تهیه نمونه‌های بافت بیضه نرمال انسانی برای انجام مقایسه، با بخش‌های پاتولوژی و اورولوژی بیمارستانهای وابسته به دانشگاه علوم پزشکی شهید بهشتی هماهنگی لازم به عمل آمد و از نمونه آرکیدکتوسی ۵ بیمار با کانسر پروستات، نمونه لازم تهیه شد. لازم به ذکر است که نمونه طبیعی از افرادی تهیه شده که در بافت بیضه آنها هیچ گونه مشکلی در پرسه اسپرماتوزنیس مشاهده نمی‌شد و علت ارکیدکتوسی تها به دلیل کانسر پروستات وابسته به آندروژن بود. برای حصول اطمینان از طبیعی بودن بافت، ابتدا از نمونه‌های تهیه شده لامهای با رنگ آمیزی هماتوکریلین - اوزین تهیه و طبیعی بودن اسپرماتوزنیس در آنها محذر می‌شد.

بعد از تهیه نمونه از دو گروه (بیمار و افراد نرمال) نمونه‌ها به صورت قطعاتی با ابعاد در حدود ۳mm برش داده شد و در داخل ماده ثبوت اولیه گلوقارآلائید ۵/۵ درصد در بافر فسفات با pH=۷/۲ و به مدت ۲-۴ ساعت در دمای ۴°C نگهداری شد. بعد از فیکس اولیه نمونه‌ها به مدت ۲ ساعت توسط محلول بافر فسفات شستشو داده شد و در این مدت حداقل ۳ بار محلول بافر تعویض گردید. در مرحله فیکس ثانویه یا post fix نمونه‌ها به مدت ۲ ساعت در محلول تراکسیداسیمیو یک در صد داده شدند. بعد از شستشوی مجدد با بافر فسفات مراحل آبگیری در درجات افزایشی الكل اتابل، آغشتنگی یا Infiltration قابلگیری با رزین اپون ۸۱۲، ۸۱۴ و تراش یا Trimming حاوی نمونه توسط تبغ در زیر استریومیکروسکوپ به ترتیب انجام شد. در مرحله بعد به وسیله دستگاه اولترامیکروتوم با چاقوی شیشه‌ای از مناطق مورد نظر برشهای نازک به ضخامت ۵۰ µm تا ۷۰ نانومتر تهیه و بر روی گردید قرار داده شد. نمونه‌های برش داده به ترتیب توسط دو محلول اورانیل استات و لیدسترات رنگ آمیزی و سپس به وسیله میکروسکوپ الکترونی انتقالی مورد مشاهده قرار گرفتند و از محلهای مورد نظر میکروگراف تهیه و گروههای مورد مطالعه، بررسی شدند (۱۹).

یافته‌ها

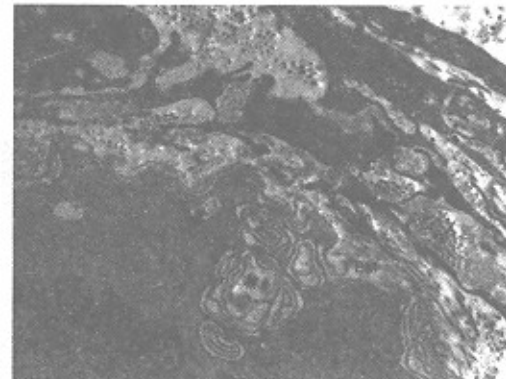
در گروه کنترل، اسپرماتوزنیس نرمال که سلولهای جرم در مراحل مختلف تکامل هستند، قابل تشخیص است. در اطراف لوله‌های سمعی نفروس، لامینا پروپریا یکنواخت همراه با سازماندهی منظم و خاص خود دیده می‌شود، غشاء پایه زیر اپی تیلوم رُزمیال به صورت بک لایه منظم و هموژن به خوبی قابل تشخیص است (شکل ۱).

اما در گروه بیماران، الگوهای مختلفی از تغییرات پاتولوژیک در سلولهای سازنده اپی تیلوم رُزمیال و افزایش ضخامت کلی لامینا پروپریا و غشاء پایه آن قابل توجه است. الگوهای تغییرات غشاء پایه در بیماران مورد مطالعه از یک ضخیم شدگی ساده هموژن تا ضخیم شدن همراه با تغییرات مشخص دیگر متغیر بود. این الگوها در هر یک از بیماران به صورت یکی از موارد زیر است:

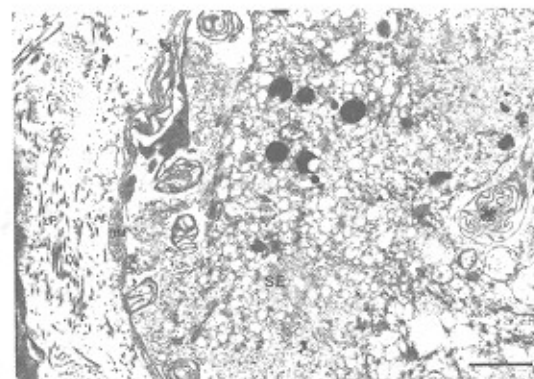


شکل ۴: تصویر میکروگراف الکترونی از بطش غشاء پایه (BM)، گروه بیماران، سنتی شدگی غشاء پایه همراه با برجسته شدن به شکل گره (۶) مشاهده می شود، بزرگنمایی: $\times 2000$

۴. چند لایه شدن غشاء پایه همراه با برا آمدگی به طرف ای تلیوم ژرمینال به طوری که در بعضی از لوله های سمت نفروس این برا آمدگی از غشاء پایه جدا و به صورت یک جسم مدور با مرکز روش مشخص است (شکل های ۵ و ۶).



شکل ۵: تصویر میکروگراف الکترونی از غشاء پایه (BM) (چند لایه ای در افراد بیمار، نعلی از غشاء پایه (۶) جدا شده و در این تلیوم ژرمینال (BG) نزار گرفته شد، بزرگنمایی: $\times 2000$)



شکل ۶: تصویر میکروگراف الکترونی قسمتی از غشاء پایه (BM)، جدا شده (۶) در گروه بیماران که به طور عمیق بر داخل این تلیوم قرار گرفته است، اینها بروپریا (LP) سلول سرتیل (SE)، بزرگنمایی: $\times 2000$

بحث

مطالعات در *in vitro* شان داده است که سنتز غشاء پایه نیازمند

همکاری هر دو سلولهای سرتولی و میوئید است و حضور یک ماتریکس خارج سلوی مناسب و نرمال در عملکرد صحیح سلولهای مختلف بیضه (سرتولی، میوئید و لایدیگ) ضروری می باشد. به طوری که سلول سرتولی تنها در حضور این ماتریکس به یک سلول بالغ مشوری شکل با قطعیت خاص خود تبدیل می شود.

Skinner و همکاران در سال ۱۹۸۵ ماتریکس خارج سلوی داند که سلولهای سرتولی کشت داده شده در عدم حضور ماتریکس خارج سلوی تنها کلاژن نوع ارا ستر می کنند و فقط در حضور ماتریکس است که این سلولهای کلاژن و سایر اجزاء غشاء پایه را می سازند. بنابراین بررسی و مطالعه این ماتریکس خارج سلوی (غشاء پایه) در بیماران مختلف در بافت بیضه ضروری و لازم به نظر می رسد (۲۰).

از مهم ترین یافته ها در این مطالعه ضخیم شدن غشاء پایه است، الگوهای ضخیم شدگی در بیماران مورد مطالعه متغیر است. افزایش ضخامت غشاء پایه همراه با دیگر تغییرات پاتولوژیکی در لامینا پروپریا ممکن است منجر به کاهش انتشار مواد موجود در خون شود که برای سلولهای جرم در حال تکامل به شدت مورد نیاز است. اینکه چرا الگوهای ضخیم شدگی در بیماران مورد مطالعه متغیر است، مشخص نبوده همچنین مشخص نیست که آیا این افزایش ضخامت و تغییرات پاتولوژیکی در لامینا پروپریا منجر به اختلال در روند اسپرماتوزنیس می شود و یا اینکه اختلال در اسپرماتوزنیس عامل تغییرات پاتولوژیک در لامینا پروپریا است.

گزارشاتی وجود دارد مبنی بر اینکه تغییرات غشاء پایه وابسته به سن است. XI و همکاران در سال ۱۹۸۲ ضخامت غشاء پایه را در بیضه افراد در سنین مختلف مقایسه کردند و عنوان کردند که غشاء پایه زیر ابی تلیوم سمت نفروس توپول و همینطور غشاء پایه سلولهای آندوتیال موریگکها با افزایش سن زیاد می شود (۲۱). از آنجائی که دامنه سمت افراد مورد مطالعه در این تحقیق در هر دو گروه کنترل و بیمار به هم نزدیک بود، و افراد مسن را شامل نمی شد، بنابراین نقش افزایش سن در ضخامت غشاء پایه در این مطالعه نمی تواند دخیل باشد.

یکی دیگر از عوامل افزایش ضخامت غشاء پایه که در بعضی از مطالعات ذکر شده، رسوبات ایمنی در آن است. از جمله مطالعات می توان به مطالعه Salomon و همکاران در سال ۱۹۸۲ اشاره کرد که وجود C3, IgM, IgG را در غشاء پایه لوله های سمت نفروس بیضه در افراد نابارور گزارش کردند (۱۱). برای تعیین مطالعه فوق به مطالعه حاضر تیاز به مطالعات و بررسیهای ایمونوهیستوشیمی و ایمونر الکترو میکروسکوپی است که متناسفانه به دلیل عدم دسترسی به آنتی بادیهای موردنیاز انجام آن مقدور نبود.

به طور کلی اعتقاد بر این است که غشاء پایه بافتی افراد بزرگسال نرمال و طبیعی، بازسازی نشده و یا اینکه این روند به کنندی صورت می گیرد. غشاء پایه ضخیم شده در این مطالعه و سایر مطالعات و همچنین در افراد مسن، در نتیجه افزایش بیان و سنتز اجزاء غشاء پایه و یا کاهش Breakdown شدن آن است. پکتواختی در افزایش سنتز اجزاء

در غشاء پایه به انضمام چین خورده‌گی آن را به دلیل کاهش قطر لوله‌های سمی نفروس معرفی کردند (۴).

غشاء پایه محصول هر دو سلولهای سوتولی و میوئید است. بلوغ این سلولها جهت سنتز یک غشاء پایه نرمал و طبیعی ضروری است، بنابراین شاید بتوان تغییرات پاتولوژیکی مشاهده شده در این تحقیق را به وضعیت غیر طبیعی سلولهای مذکور نسبت داد. به طوری که مطالعه فرایانه اختراع سلولهای مذکور توسط نویسندگان تحقیق حاضر در قسمتی دیگر (منتشر نشده) صحبت آن را تایید می‌کند. ضخیم شدن لامینا پروپریا و غشاء پایه آن از ارتباط طبیعی بین سرتولی و میوئید جلوگیری کرده و مانع از اینتراکنشیهای طبیعی بین آنها شده که خود مزید بر علت شده و با تشید تغییرات سلولی در روند پرورسه اسپرماتوزنیس اختلال ایجاد می‌شود.

تقدیر و تشکر

مقاله حاضر قسمتی از طرح تحقیقاتی گروه پژوهشی جنین‌شناسی پژوهشکده رویان وابسته به جهاد دانشگاهی علوم پزشکی ایران است. لذا نویسندگان بدین وسیله مراتب تقدیر و تشکر خود را از این مرکز به دلیل در اختیار قرار دادن بودجه و امکانات لازم و همچنین از بخش‌های میکروسکوپ الکترونی دانشگاه علوم پزشکی شهید بهشتی و بیمارستان بقیه الله (عج) ابراز می‌دارد.

سازنده غشاء پایه مشخص نیست، اینکه آیا همه اجزاء به یک نسبت زیاد شده باشند یا باز به مطالعات ایمونوپیستوشیمی برای هر یک از اجزا آن است (۴). مطالعات بیان ژنی (Gene expression) نشان داده که سنتز لامینین در حالت ضخیم شده‌گی غشاء پایه در ضایعات بافت بیضه تشدید می‌شود و این تغییر در بیان ژنی مثالی قسمتی از افزایش غشاء پایه در ضایعات بیضه است. مکانیزم مولکولی مثالی افزایش بیان ژنی Transforming β مولکولی مثالی است که در ترشرح آن هر دو سلولهای سرتولی و میوئید نقش داردند (۵).

ضخیم شده‌گی و برآمدگی غشاء پایه در لوله‌های سمی نفروس ممکن است مربوط به تغییرات سلولهای سرتولی و میوئید باشد، این تغییرات غشاء پایه منحصر به بیماران مورد مطالعه در تحقیق حاضر نبوده و در اختلافاتی نظیر سندروم کلابین فلتر، واربکرسل و کرپیتوکیدیسم گزارش شده است (۶،۷).

یکی دیگر از تغییرات مشاهده شده در این تحقیق، چند لایه شدن غشاء پایه است که با نتایج مطالعه Salomon و همکاران در سال ۱۹۸۲ هم سویی دارد. محققین مذکور این سورفولوژی در غشاء پایه را Delamination نام نهادند. Pierce Nakane و این شکاف برداشتن و چند لایه شدن غشاء پایه را به عنوان سنتز اضافی غشاء پایه در پاسخ به ضایعه اپی تلیا نسبت دادند (۸). در حالی که محققین دیگر این تغییر

References

1. Santamaría L, Martínez P, Nistal M: Laminin, type IV collagen, and fibronectin in normal and cryptorchid human testes. *Int Androl* 1990; 13: 135-146
2. Mark AM, Martin Dym: Immunocytochemistry of extracellular matrix in the lamina propria of the rat testis. *Biol Reprod* 1987; 37: 1283-1289
3. Salomon F, Hedinger C: Abnormal basement membrane structures of seminiferous tubules in infertile men. *Lab Invest* 1982; 47(6): 543-554
4. Martin D: Basement membrane regulation of Sertoli cells. *Endocrinol Rev* 1984; 15(1): 102-115
5. Laura LR, Hynda K, Kleinman, Martin D: Altered basement membrane synthesis in the testis after injury. *J Androl* 1998; 19(2): 145-155
6. Abramson DR: Recent studies on the structure and pathology of basement membrane. *J Pathol* 1980; 149: 257-278
7. Floege J, Johnson RJ, Gordon K, Alpers CE: Altered glomerular extracellular matrix synthesis in experimental membranous nephropathy. *Kidney* 1992; 42: 573-585
8. Furuya S: Electron microscopy studies on the changes of the peritubular wall of the human seminiferous tubules in hypospermatogenesis. *J Urol* 1976; 66: 809-814
9. Gaudio F, Paggiarino D, Carpino R: Structure and ultrastructural modifications of cryptorchid human testes. *J Urol* 1984; 131: 292-296
10. Gotoh M, Miyaka K, Mitsuo H: Elastic fibers in tunica propria on undescended and contralateral scrotal testes from cryptorchid patients. *Urology* 1987; 30: 359-363
11. Salomon F, Sremasian P, Jakob M: Immune complex orchitis in infertile men. *Immunoelectron microscopy of abnormal basement membrane structures*. *Lab Invest* 1982; 47(6): 555-567
12. Paniagua R, Martinez P, Santamaría L, Saez P: Quantitative and ultrastructural alterations in the lamina propria and Sertoli cells in human cryptorchid testes. *Interna. J Androl* 1990; 13: 479-487
13. Martin R, Santamaría L, Nistal M, Paniagua R: The peritubular myofibroblasts in the testes from normal men and men with Klinefelter's syndrome. *J Pathol* 1992; 168: 59-66
14. Santamaría L, Martin R, Nistal M, Paniagua R: The peritubular myoid cells in the testes from men with varicocele. *Histopathology* 1992; 21: 423-433
15. Zolt PN, Hubert J, Greta V, Herman T: Correlation between motility of testicular spermatozoa, testicular

- histology and the outcome intracytoplasmic sperm injection. *Hum Reprod* 1998; 13(4): 890-895
16. Ezech UIO, Martin M, Cooke ID, Moore M: Correlation of testicular pathology and sperm extraction in azoospermic men with ejaculated spermatids detected by immune fluorescent localization. *Hum Reprod* 1998; 13(11): 3061-3065
17. Schulze W, Thoms F, Knuth UA: Testicular sperm extraction: comprehensive analysis with simultaneously performed histology in 1418 biopsies from 766 subfertile men. *Hum Reprod* 1999; 14(1): 82-96
18. Jezek D, Knuth UA, Schulze W: Successful testicular sperm extraction (TESE) in spite of high serum FSH and azoospermia. *Hum Reprod* 1998; 13(5): 1230-1234

۱۹. نیکزاد حسین، رضازاده مجتبی، حسینی احمد، شریعت تریان
شمس: بررسی اثرات واژکتومی دو طرفه بر اولتراسونوگرافی بافت

- بیشه موش صحراوی. کوثر، شماره ۴ (۳): صفحات ۱۸۳-۱۹۱
20. Skinner MK, Tung PS, Fritz IB: Cooperativity between sertoli cells and testicular peritubular cells in the production and deposition of extracellular matrix components. *J Cell Biol* 1985; 100: 1941-1947
21. Xi YP, Nette GN, King DW: Age-related changes in normal human basement membrane. *Mech Ageing Dew* 1982; 19: 315-324
22. Skinner M, Moses M: Transforming growth factor gene expression and action in the seminiferous tubule. *Endocrinology* 1989; 3: 625-634
23. Haider SG, Passia D, Servos G, Hettwer J: Electron microscopic evidence for deep invaginations of lamina propria towards the seminiferous tubule lumen in patients with varicocele. *Int J Androl* 1986; 9: 27-29
24. Pierce GB, Nakane PK: Basement membranes: Synthesis and deposition in response to cellular injury. *Lab Invest* 1986; 2: 27-33

